Известия Академии наук. Серия химическая ISSN 1026-3500
2026, том 75, № 8

Журнал издается одновременно на русском («Известия Академии наук. Серия химическая») и английском («Russian Chemical Bulletin») языках. Подробную информацию о журнале, содержания номеров журнала в графической форме и аннотации статей, а также годовые предметные и авторские указатели можно получить в Интернете по адресу: ***http://www.russchembull.ru/rus/***

The Journal is published in Russian and English.
The International Edition is published under the title «Russian Chemical Bulletin» by Springer; 233 Spring St. New York NY 10013 USA. Tel.: 212 460 1572. Fax: 212 647 1898.
Detailed information concerning the journal contents of issues with graphical and text abstracts as well as annual subject and author indices can be found in the Internet at ***http://www.russchembull.ru***

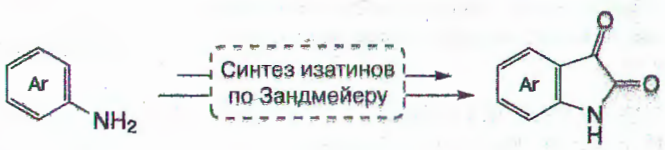
Содержание

Шибаев Валерий Петрович (к девяностолетию со дня рождения)
Изв. АН. Сер. хим., 2026, 75, № 8, xi
Садовничий Дмитрий Николаевич (к шестидесятилетию со дня рождения)
Изв. АН. Сер. хим., 2026, 75, № 8, xii

Обзоры

Синтез изатинов по Зандмейеру: получение и циклизация изонитрозоацетанилидов

А. Н. Изместьев

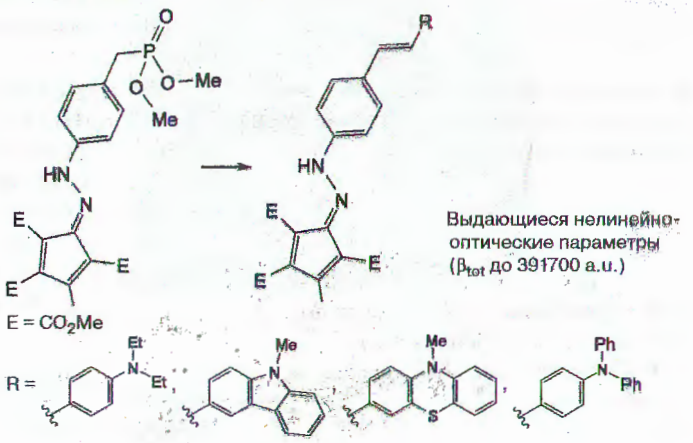


Изв. АН. Сер. хим., 2026, 75, № 8, 2323

Полные статьи

Синтез, оптические и нелинейно-оптические свойства донор-π-акцепторных гидразоноциклопентадиеновых хромофоров, содержащих виниловый π-спейсер

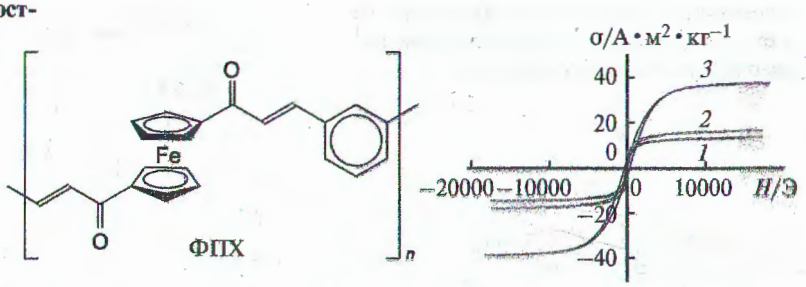
К. П. Трайнов, А. Н. Шереметьева, А. Ю. Белый, Д. Н. Платонов, С. А. Павельев



Изв. АН. Сер. хим., 2026, 75, № 8, 2341

Взаимосвязь структуры и свойств ферроценсодержащих халконов и полихалконов: оптические, поверхностные и магнитные характеристики

А. М. Шульгин, Р. А. Дворикова



Зависимость удельной намагниченности (σ) от напряженности магнитного поля (*H*) для образцов ферроценсодержащего полихалкона (ФПХ) после прогрева в атмосфере аргона при 500 °C в течение 1.5 (*1*) и 2 ч (*2*), а также при 1000 °C в течение 1 ч (*3*).

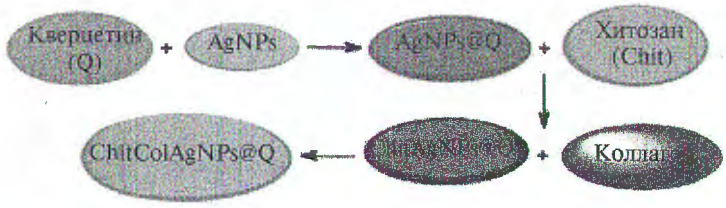
Изв. АН. Сер. хим., 2026, 75, № 8, 2351

© 2026 «Известия Академии наук. Серия химическая»

Гибридные материалы на основе коллаген-хитозановых матриц, модифицированных конъюгатом наночастиц серебра с кверцетином

А. Ю. Васильков, П. Р. Волошина,
А. В. Наумкин, Н. С. Молчева

Изв. АН. Сер. хим., 2026, 75, № 8, 2359

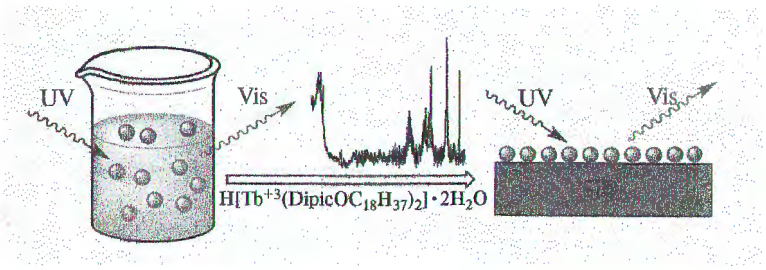


AgNPs — наночастицы серебра.

Новые люминесцентные материалы на основе дифильных комплексов лантаноидов с 4-(октадецилокси)пиридин-2,6-дикарбоновой кислотой

Ф. А. Колоколов, А. Н. Морозов,
Р. В. Хатымов, Г. И. Буравченко,
Д. И. Кузнецов, Н. Ю. Спицын,
А. Е. Щекотихин, О. А. Райтман

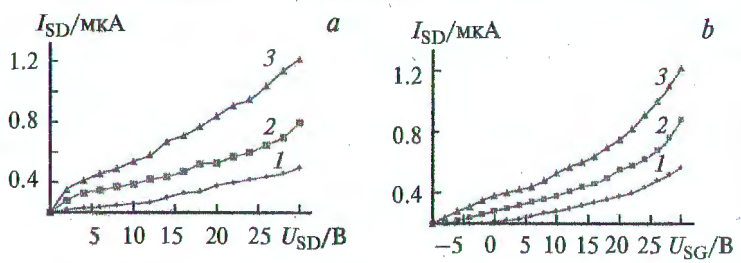
Изв. АН. Сер. хим., 2026, 75, № 8, 2367



Перспективные тонкопленочные транзисторы на основе спирофотохромных соединений

А. А. Хузин, Р. Б. Салихов,
И. Н. Муллагалиев, Л. Л. Хузина,
А. Р. Тулябаев, Т. Р. Салихов,
Т. Т. Юмалин

Изв. АН. Сер. хим., 2026, 75, № 8, 2374

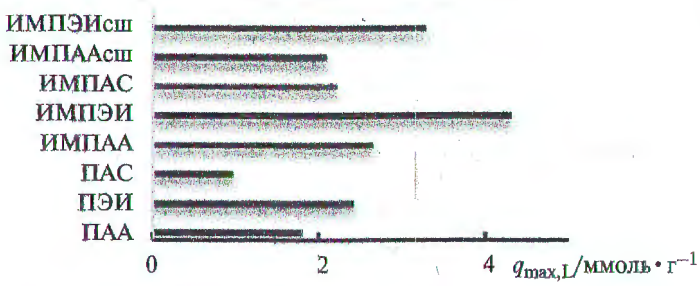


Выходные (*a*) и передаточные (*b*) характеристики полевого транзистора на основе спиропирана при различных напряжениях (*1*—*3*).

Имидазолилметильные производные аминосодержащих полимеров для извлечения рения из водных растворов

А. Д. Коробицына, О. В. Мельчакова,
А. В. Пестов, Е. О. Землякова,
Н. В. Печищева

Изв. АН. Сер. хим., 2026, 75, № 8, 2382

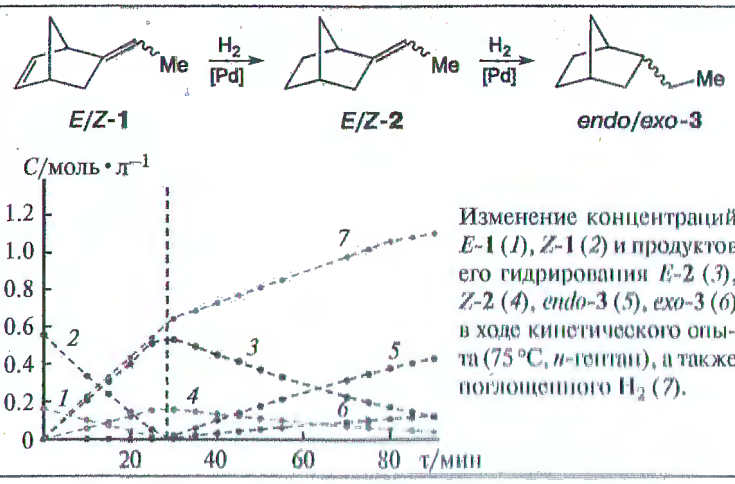


Максимальная сорбционная емкость ($q_{max,L}$) по модели Ленгмюра. ПАА — полиаллиламин, ПЭИ — полиэтиленимин, ПАС — полиаминостирол; ИМПАА, ИМПЭИ и ИМПАС — их имидазолилметильные производные; ИМПААсш и ИМПЭИсш — образцы, прошедшие дополнительную обработку эпихлоргидрином.

Особенности стереохимии и кинетическая модель гетерогенно-каталитического гидрирования 5-этилиден-2-норборнена

В. В. Замалютин, Е. А. Кацман,
Е. В. Окунева, В. Р. Флид

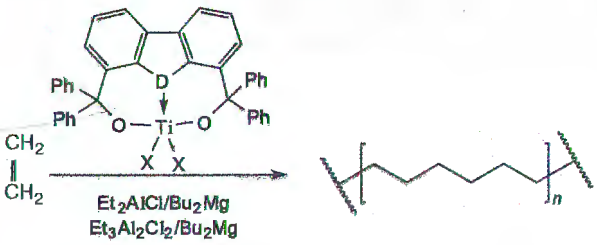
Изв. АН. Сер. хим., 2026, 75, № 8, 2394



Изменение концентраций *E*-1 (*1*), *Z*-1 (*2*) и продуктов его гидрирования *E*-2 (*3*), *Z*-2 (*4*), *endo*-3 (*5*), *exo*-3 (*6*) в ходе кинетического опыта (75 °C, *n*-гептан), а также поглощенного H_2 (*7*).

Комплексы титана с дионатными лигандами OXO-типов (X = O, S) как прекатализаторы синтеза сверхвысокомолекулярного полиэтилена и полиолефиновых эластомеров

В. А. Тускаев, С. Ч. Гагиева,
К. Ф. Магомедов, М. Д. Евсеева,
Д. Сарачено, Е. К. Голубев,
М. И. Бузин, Б. М. Булычев



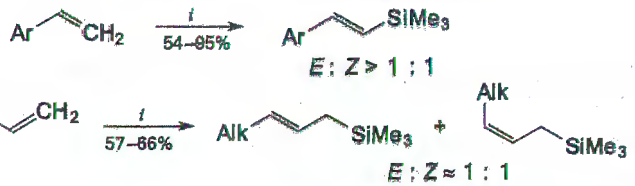
D = O, S; X = Cl, OPr^i

M = (3.7—8.8) · 10^6 г · моль$^{-1}$

Изв. АН. Сер. хим., 2026, 75, № 8, 2402

Катализируемое Cp_2TiCl_2 силилирование монозамещенных олефинов под действием Me_3SiCl и Mg: региоселективный синтез замещенных винил- и аллилсиланов

Л. К. Дильмухаметова, М. Г. Шайбакова,
И. Р. Рамазанов



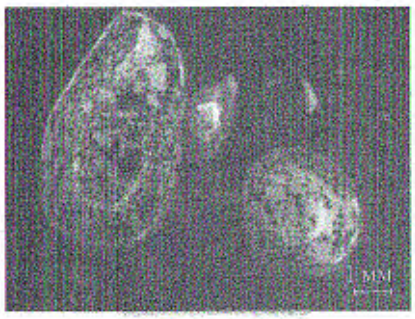
Ar = Ph, 4-MeC$_6$H$_4$, 4-Bu^{t}OC$_6$H$_4$, 2-нафтил, Alk = C$_7$H$_{15}$, C$_8$H$_{17}$, C$_5$H$_{11}$

i. Me_3SiCl (4 экв.), Mg (4 экв.), Cp_2TiCl_2 (0.1 экв.), ТГФ, 20—22 °C, 4—6 ч.

Изв. АН. Сер. хим., 2026, 75, № 8, 2409

Изучение возможности получения соединения $Bi_2Si_3O_9$ отжигом из аморфного состояния и исследование каталитических свойств германата и силиката висмута Bi_2O_3—GeO_2 и Bi_2O_3—SiO_2 (25 : 75, мол.%) в реакции окислительной димеризации метана

Т. В. Бермешев, С. Н. Верещагин,
М. П. Бундин, О. В. Белоусов,
А. С. Самойло, А. Н. Залога,
Д. В. Хлыстов

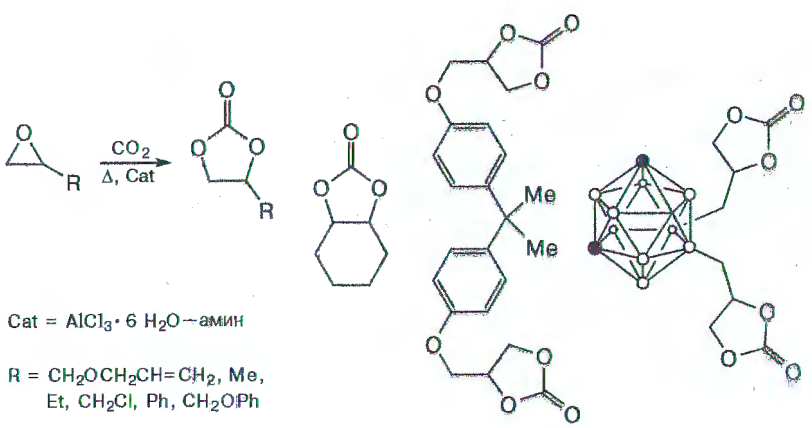


Германат висмута после отжига (820 °C, 1 ч).

Изв. АН. Сер. хим., 2026, 75, № 8, 2416

Системы $AlCl_3 \cdot 6\ H_2O$—амины в качестве катализаторов присоединения диоксида углерода к оксиранам

С. Е. Любимов, П. В. Черкасова,
Р. Ж. Арифулин, В. М. Алпатова,
Е. Г. Рыс, В. А. Ольшевская



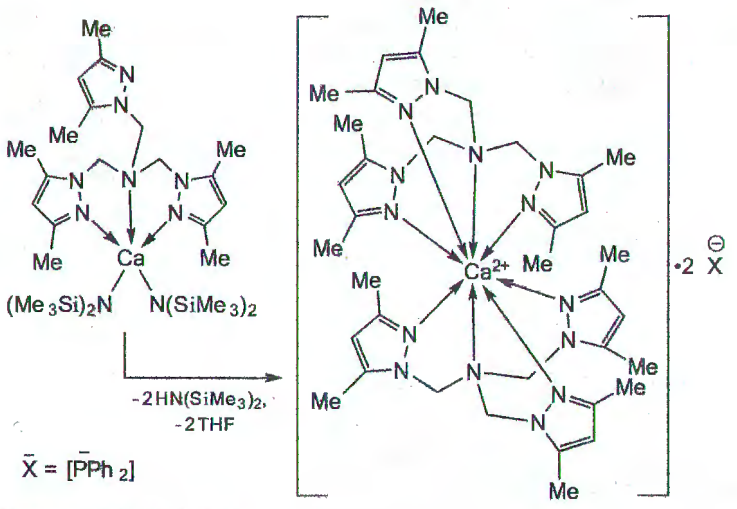
Cat = $AlCl_3 \cdot 6\ H_2O$—амин

R = $CH_2OCH_2CH{=}CH_2$, Me, Et, CH_2Cl, Ph, CH_2OPh

Изв. АН. Сер. хим., 2026, 75, № 8, 2426

Амидный и фосфидные комплексы Ca(II) с трис(пиразолилметил)амином: синтез, строение и каталитическая активность в реакциях межмолекулярного гидрофосфинирования алкенов и алкинов

И. Д. Ермолин, Д. М. Любов,
А. В. Черкасов, А. А. Трифонов

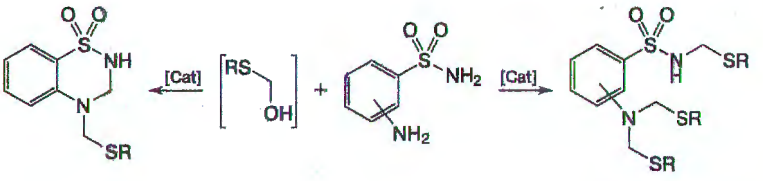


Условия: 2 Ph_2PH, C_6D_6, ~20 °C→50 °C.

Изв. АН. Сер. хим., 2026, 75, № 8, 2430

Сульфамиды в реакциях каталитического аминометилирования и тиометилирования. Сообщение 1. Катализируемое солями Yb и Sm тиометилирование региоизомерных аминобензолсульфамидов с помощью линейных алкилтиолов и параформальдегида

Р. Р. Хайруллина, Г. В. Ремезова,
Т. В. Тюмкина

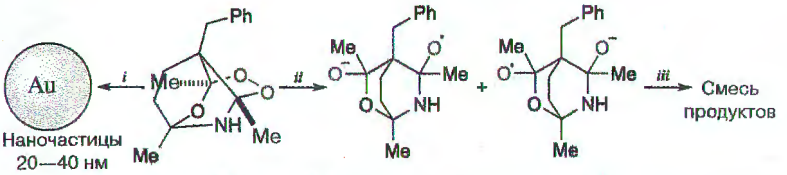


R = Bu^n, *n*-C_6H_{13}, *n*-C_8H_{17};
[Cat] = Yb, Sm

Изв. АН. Сер. хим., 2026, 75, № 8, 2448

Электрохимическое поведение трициклического аминопероксида на золотом электроде в ацетонитриле

М. В. Поляков, М. Д. Веденяпина,
А. М. Скундин, И. А. Ярёменко,
П. С. Радулов

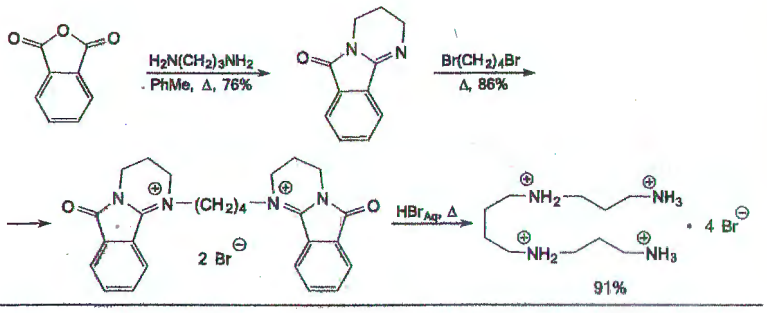


i. −e⁻, Au-анод, MeCN, 20—24 °C; *ii*. +e⁻, Au-катод, MeCN, 20—24 °C; *iii*. +e⁻, Au-катод, MeCN, 20—24 °C.

Изв. АН. Сер. хим., 2026, 75, № 8, 2456

Новый метод синтеза *N,N'*-бис(3-аминопропил)бутан-1,4-диамина

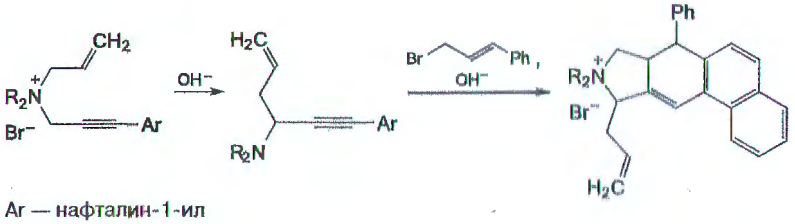
М. А. Барабанов, Г. С. Мартьянов,
А. В. Пестов



Изв. АН. Сер. хим., 2026, 75, № 8, 2462

Внутримолекулярное [4+2]-циклоприсоединение непредельных аммониевых солей в синтезе конденсированных производных изоиндолиния и их биологическая активность

Л. В. Айрапетян, Э. О. Чухаджян,
А. С. Мкртчян, А. Р. Геворгян,
И. С. Даниелян, А. С. Агаронян,
Р. Е. Мурадян, А. Г. Аракелян,
М. Ю. Дангян, Л. Э. Нерсесян

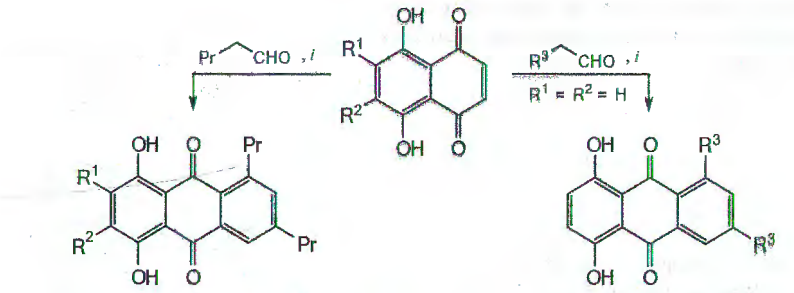


Ar — нафталин-1-ил

Изв. АН. Сер. хим., 2026, 75, № 8, 2471

Синтез 1,4-дигидроксиантрахинонов реакциями нафтазаринов с α-неразветвленными алканалями

В. Л. Новиков, Н. Н. Баланева,
О. П. Шестак, В. П. Глазунов,
А. И. Калиновский



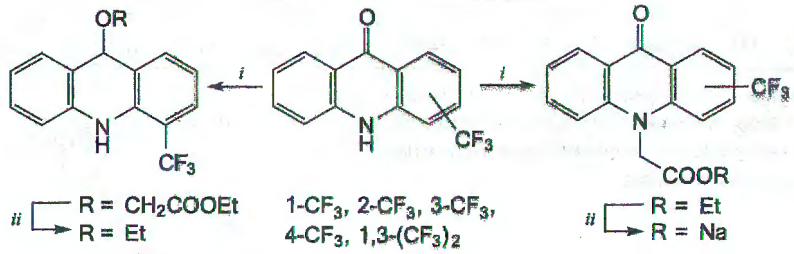
$R^1 = R^2 = H$ (68%); $R^1 = Bu^t$, $R^2 = H$ (68%);
$R^1 = H$, $R^2 = Bu^t$ (17%); $R^1 = R^2 = Cl$ (35%)

Изв. АН. Сер. хим., 2026, 75, № 8, 2480

i. TsOH, PhH, Δ, 1.5—2.5 ч.

Синтез и биологическая активность натриевых солей акридоукусусных кислот с трифторметильными заместителями

А. М. Меренкова, Н. А. Пелевин,
Т. Н. Кудрявцева, Л. Г. Климова,
Т. А. Кудрявцев, И. В. Заварзин,
А. В. Тютюгин, Д. С. Лоторев

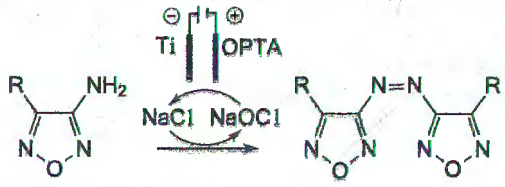


Изв. АН. Сер. хим., 2026, 75, № 8, 2496

i. $BrCH_2COOEt$, NaH, ДМФА; *ii*. 2 *M* NaOH, EtOH.

Окисление аминофуразанов до азофуразанов электрогенерируемыми гипогалогенидами щелочных металлов

Б. В. Лялин, Д. В. Фадеев,
А. Б. Шереметев

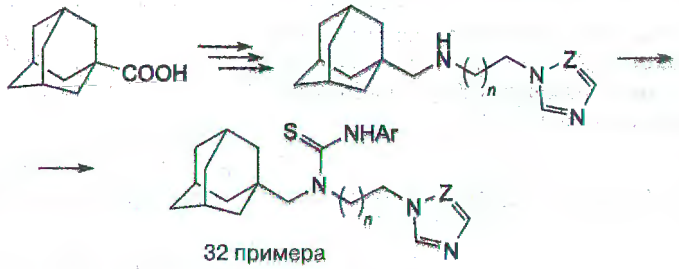


R = Alk, Ar, NO_2, CN и др.

Изв. АН. Сер. хим., 2026, 75, № 8, 2506

Синтез и фунгицидная активность 1-адамантилметил-1-азолилалкил-3-фенилтиомочевин

Ю. Е. Седова, А. Л. Алексеенко,
С. В. Попков



Z = N, CH; Ar = 4-FC_6H_4, 2-ClC_6H_4, 3-ClC_6H_4, 4-ClC_6H_4, 2,4-$Cl_2C_6H_3$, 3-MeC_6H_4, 3-$CF_3C_6H_4$, 2-$MeOC(O)C_6H_4$

Изв. АН. Сер. хим., 2026, 75, № 8, 2513

Синтез и множественная биологическая активность трифторметилпиразолил-замещенных тиосемикарбазонов и тиазолидинонов

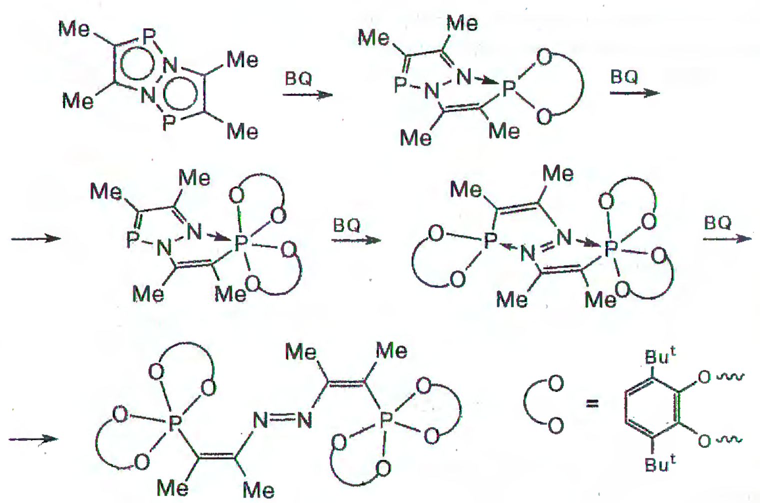
О. Г. Худина, Д. Н. Бажин, Е. А. Осипова,
Ю. С. Кудякова, Ю. О. Эдилова,
М. А. Ежикова, М. И. Кодесс,
Я. В. Бургарт, Г. А. Триандафилова,
О. П. Красных, К. О. Мальшева,
А. Ф. Мустафина, М. В. Улитко,
Г. Ф. Махаева, Н. В. Ковалева,
Н. П. Болтнева, Е. В. Рудакова,
Н. А. Герасимова, Н. П. Евстигнеева,
В. И. Салоутин



Изв. АН. Сер. хим., 2026, 75, № 8, 2525

Присоединение 3,6-ди-*трет*-бутил-*о*-бензохинона к 3а,6а-диаза-1,4-дифосфапенталену

Н. В. Золотарева, В. В. Сущев, А. В. Христолюбова, М. Д. Гришин, Р. В. Румянцев, Г. К. Фукин, А. Н. Корнев

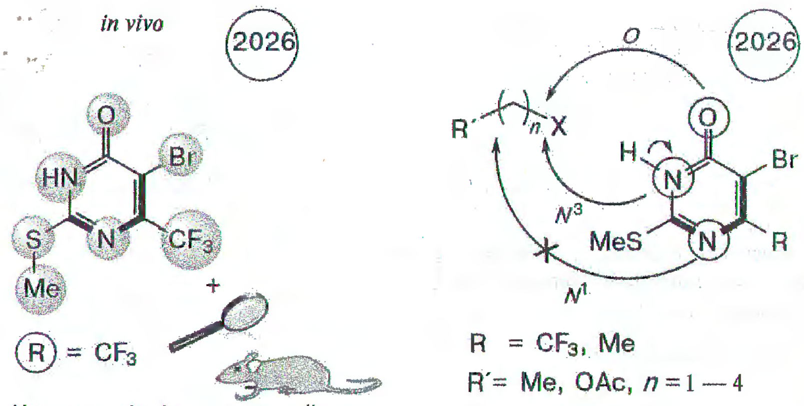


BQ — 3,6-ди-*трет*-бутил-*о*-бензохинон

Изв. АН. Сер. хим., 2026, 75, № 8, 2541

Реакции конкурентного *N*- и *O*-алкилирования 5-бром-2-метилтио-6-трифторметилурацила — перспективного противоопухолевого агента

О. Э. Мельников, Н. А. Елькина, Я. В. Бургарт, Е. В. Щегольков, М. А. Ежикова, М. И. Кодесс, А. А. Шитова, О. В. Солдатова, А. С. Филимонов, М. В. Филимонова, В. И. Салоутин



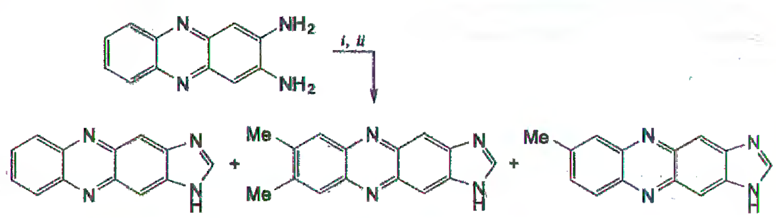
Испытания *in vivo* на солидной карциноме Эрлиха

Алкилирование

Изв. АН. Сер. хим., 2026, 75, № 7, 2550

Неожиданные метилсодержащие продукты реакции 2,3-диаминофеназина с гликолевой кислотой или параформом в полифосфорной кислоте

Г. А. Селиванова, Цзяяо Ли, В. И. Краснов, Б. А. Селиванов, Р. В. Андреев

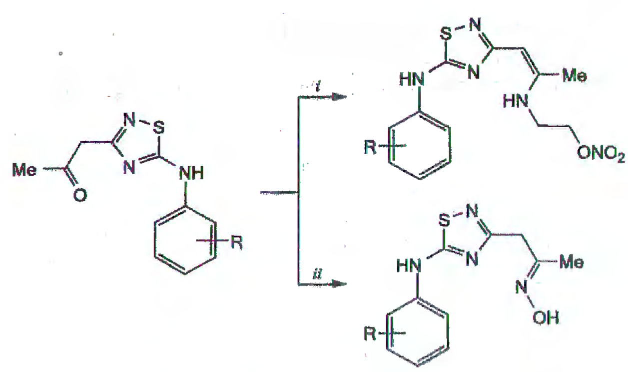


i. Полифосфорная кислота (ПФК), 2,3-диаминофеназин—AcOH (1 : 1.5), 180 °C, 5 ч; *ii*. ПФК, 2,3-диаминофеназин—параформ (1 : 1.5), 160 °C, 3 ч.

Изв. АН. Сер. хим., 2026, 75, № 7, 2561

Производные 1,2,4-тиадиазола с NO-генерирующим фрагментом

И. В. Серков, Е. В. Фомина-Агеева, В. В. Безуглов, А. Н. Прошин



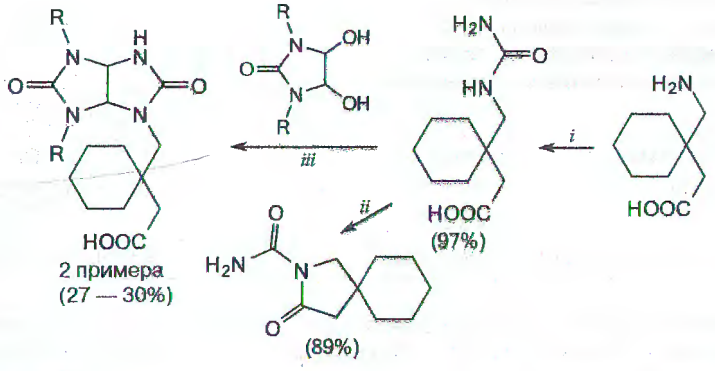
R = H, 4-CF_3, 4-OMe, 4-Cl, 4-F, 4-Pr^i, 3,4-Cl_2

Реагенты и условия: *i*. Нитроэтаноламин, Et_3N, MeOH, 25 °C, 18 ч; *ii*. $NH_2OH \cdot HCl$, AcONa, MeOH, H_2O, 25 °C, 18 ч.

Изв. АН. Сер. хим., 2026, 75, № 7, 2572

Синтез и свойства первых представителей 2-{1-[(гликольурилил)метил]циклогексил}-этановых кислот

В. В. Баранов, Ю. А. Волкова,
В. А. Карноухова, А. Н. Кравченко

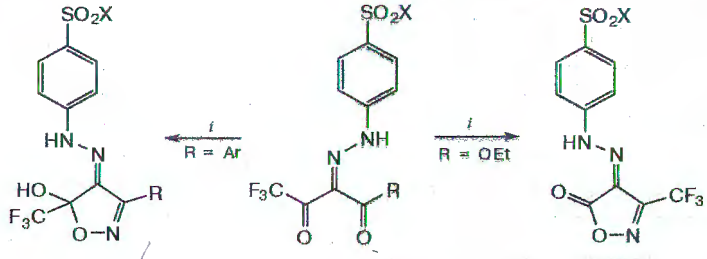


R = H, Me
i. 1) H_2O, NaOCN, кипячение, 25 мин; 2) HCl, ледяная баня; *ii*. HCl, H_2O, кипячение, 3 ч; iii. HCl, H_2O—PriOH (2 : 1), кипячение, 3 ч.

Изв. АН. Сер. хим., 2026, 75, № 8, 2578

Целенаправленный синтез противомикробных агентов на основе трифторметилсодержащего 4-(сульфониларил)гидразинилиденизоксазольного остова

Н. А. Елькина, О. Э. Мельников,
Е. В. Щегольков, Я. В. Бургарт,
Н. А. Герасимова, Н. П. Евстигнеева,
В. И. Салоутин



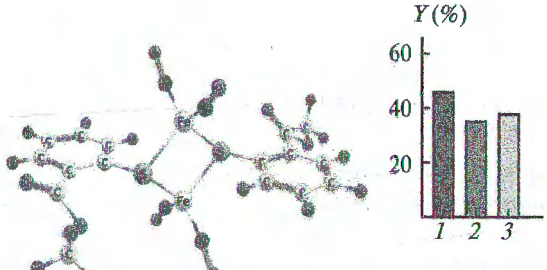
X = NH_2, Me
i. $NH_2OH \cdot HCl$, AcONa, EtOH, Δ.

Минимальные ингибирующие концетрации соединений **1** в отношении *N. gonorrhoeae* ⩾ 7.8 мкг • $мл^{-1}$, в отношении клинического изолята *N. gonorrhoeae* Ng59 (CTXR) ⩾ 31.2 мкг • $мл^{-1}$, в отношении дерматофитов *T. rubrum*, *E. floccosum*, *M. canis* ⩾ 50 мкг • $мл^{-1}$.

Изв. АН. Сер. хим., 2026, 75, № 8, 2586

Нитрозильный комплекс железа на основе метилтиосалицилата: новый подход в терапии воспаления

О. В. Покидова, К. С. Руина,
Л. М. Матвеева, В. О. Новикова,
М. М. Чичева, А. С. Конюхова,
А. В. Акимов, М. А. Благов, Н. А. Санина



Нитрозильный комплекс железа с метилтиосалицилатом ингибирует активность циклооксигеназы-2 (ЦОГ-2) эффективнее препаратов сравнения.
Y — ингибирование ЦОГ-2 в процентах от значений для контроля: исследованный комплекс (*1*), ацетилсалициловая кислота (*2*), целекоксиб (*3*); $C = 10^{-5}$ моль • $л^{-1}$.

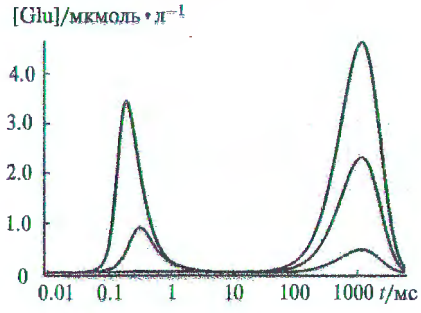
Изв. АН. Сер. хим., 2026, 75, № 8, 2599

Кинетическая модель глутаматной нейрон-астроцитарной системы: *N*-ацетиласпартилглутамат, глутаматкарбоксипептидаза

С. Д. Варфоломеев, В. И. Быков,
С. Б. Цыбенова



Двухфазный характер функционирования глутамат-астроцитарной системы в синаптической щели при вариации силы выброса при экзоцитозе.



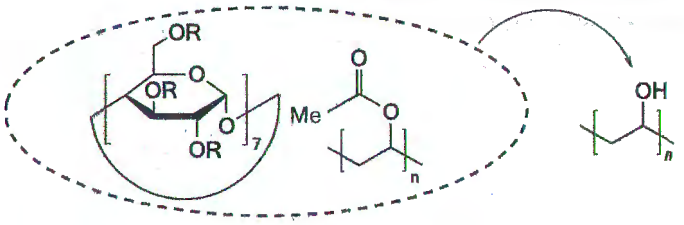
NAAG — *N*-ацетиласпартилглутамат, GCPII — глутаматкарбоксипептидаза, NAA — *N*-ацетиласпарагиновая кислота, Glu — глутамат.

Изв. АН. Сер. хим., 2026, 75, № 8, 2612

Инкапсуляция циклодекстрина в гидрогели поливинилового спирта для разработки противомикробного материала биомедицинского назначения

А. А. Скуредина, Е. З. Бежанидзе, Е. В. Кудряшова

Изв. АН. Сер. хим., 2026, 75, № 8, 2625



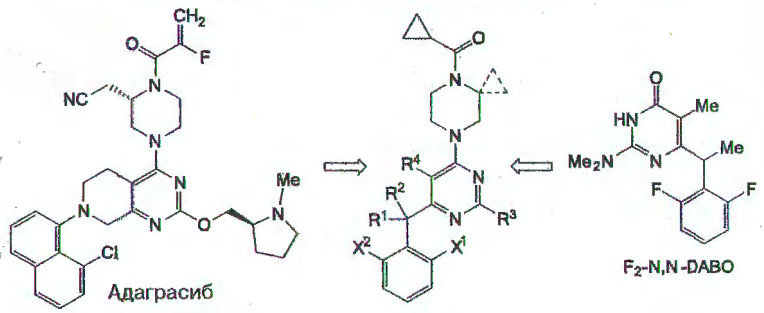
R = H, –$CH_2CH(OH)Me$

Гибриды адаграсиб—ДАБО как вероятные блокаторы ГТФазы $KRAS^{G12C}$: синтез и антипролиферативные свойства

И. А. Елисеев, Д. О. Шкиль, В. В. Чернышов, Е. М. Кулакова, Е. А. Буланова, В. С. Шумакова, К. В. Балакин, Р. А. Иванов, М. Б. Навроцкий

Изв. АН. Сер. хим., 2026, 75, № 8, 2634

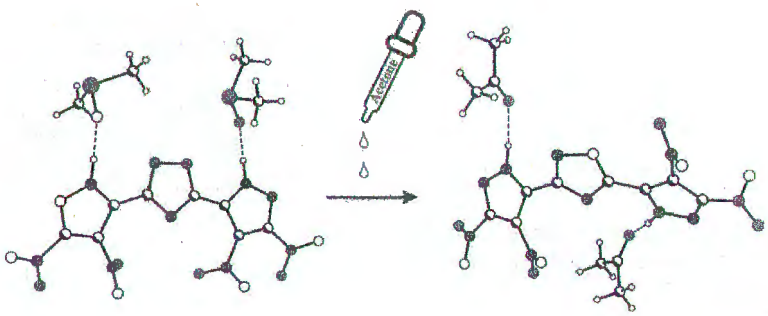
Разработка гибридных молекул с использованием принципа замены скелета фармакофора (стратегия «scaffold-hopping»)



Влияние растворителя на кристаллическое строение молекулы тетранитро-3,5-ди(пиразолил)-1,2,4-оксадиазола

К. Ю. Супоницкий, Т. Э. Хоранян, И. Л. Далингер

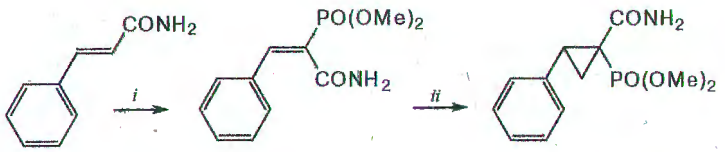
Изв. АН. Сер. хим., 2026, 75, № 8, 2651



Синтез и структура 1-(диметоксифосфорил)-2-фенилциклопропанкарбоксамида

А. В. Кулешов, Г. Б. Лапа, Е. М. Игнатьева, И. В. Трушков

Изв. АН. Сер. хим., 2026, 75, № 8, 2657



i. $P(OMe)_3$, $Mn(OAc)_3 \cdot 2H_2O$, AcOH, 60 °C; *ii*. $Me_3SO^+I^-$, NaH, ДМФА, 0 °C.

Полифенольные компоненты экстрактов сучковых зон древесины *Larix decidua*

Е. В. Сухова, Д. Е. Цветков, М. В. Сухова, И. А. Бакин, Н. Э. Нифантьев

Изв. АН. Сер. хим., 2026, 75, № 8, 2662

